

# انتقال گرمایی در یک میکرو کولر سه بعدی با نانو سیال عامل تحت تاثیر میدان مغناطیسی

کارشناسی ارشد، دانشکده مهندسی مکانیک، دانشگاه سمنان، سمنان، ایران

استادیار، پژوهشکده انرژی، پژوهشگاه مواد و انرژی، کرج، ایران

دانشیار، دانشکده مهندسی مکانیک، دانشگاه سمنان، سمنان، ایران

امیر فتاحی

مازیار دهقان

\* محمد صادق ولی‌بور

## چکیده

در مطالعه حاضر جریان و انتقال گرمایی سه بعدی نانو سیال آب-آلومینیوم در یک میکرو کولر با سطح مقطع مستطیلی در حضور میدان مغناطیسی یکنواخت به صورت عددی مورد بررسی قرار می‌گیرد. میدان مغناطیسی به صورت عرضی یعنی در جهت عمود بر جهت جریان نانو سیال اعمال می‌شود. تمام شبیه سازی ها برای اعداد هارتمن ۰ تا ۳۰ و برای عدد رینولدز ( $Re$ ) برابر ۱۰۰ و کسر حجمی ۰ برابر ۲ درصد صورت می‌گیرد. نتایج میدان جریان و انتقال گرمایی در قالب کمیت‌های موثر اعم از عدد پواریه ( $f \cdot Re_{Dh}$ )، حداکثر سرعت محوری بدون بعد ( $U_{max}$ ) و عدد ناسلت به همراه کانتورهای سرعت و دما ارائه می‌شوند. نتایج نشان می‌دهد که با افزایش عدد هارتمن افت فشار و انتقال گرمایی افزایش می‌یابد. همچنین علاوه بر داشتن پروفیل دمای یکنواخت‌تر در قسمت سیال، اعمال میدان مغناطیسی توزیع دما در قسمت جامد میکروکانال را نیز یکنواخت‌تر می‌کند. لذا می‌توان شار گرمایی بالاتری توسط میکرو کولر دفع کرد بدون اینکه حداکثر دمای کانال از محدوده مجاز تخطی نماید.

واژه‌های کلیدی: میکرو کولر، نانو سیال، میدان مغناطیسی، انتقال گرمایی جابجاگی.

## Heat transfer in a three-dimensional nanofluid-cooled microcooler under the influence of magnetic field

A. Fattahi

M. Dehghan

M. S. Valipour

Department of Mechanical Engineering, Semnan University, Semnan, Iran

Energy Department, Materials and Energy Research Center (MERC), Karaj, Iran

Faculty of Mechanical Engineering, Semnan University, Semnan, Iran

### Abstract

In the present study, the fluid flow and heat transfer of water- $\text{Al}_2\text{O}_3$  nanofluid through a three-dimensional microcooler with rectangular flow passages are investigated numerically in the presence of a uniform magnetic field. The magnetic field is applied in the transverse direction (i.e. normal to the flow direction). All simulations are performed for Hartman numbers within the range of 0 to 30 for a fixed Reynolds number of  $Re=100$  and the volume fraction of  $\phi=0.02$ . The results are presented in terms of the Poiseuille number ( $f \cdot Re_{Dh}$ ), the dimensionless maximum axial velocity ( $U_{max}$ ), and the Nusselt number ( $Nu$ ) as well as contours of velocity and temperature fields. The results reveal that the pressure drop and heat transfer increase with the increase of the Hartman number. In addition to having a uniform temperature distribution in the fluid part, the presence of the magnetic field makes the temperature distribution within the solid part of the micro-channel more uniform which enables removing higher heat fluxes within the safe temperature limit.

**Keywords:** Microcooler, Nanofluid, Magnetic field, Convective heat transfer.

۷۹۰ شار گرمایی را بدون تغییر فاز و با افزایش حداکثر ۷۱ درجه سلسیوس دفع کند. فالر و ماکیهارا [۴-۳] اعتبار معادلات ناویر-استوکس را بررسی و تایید کردند. لی و همکارانش [۵] با شبیه سازی سه بعدی میکروکانال های چاه گرمایی، جریان کاملاً توسعه یافته و انتقال گرمایی در میکروکانال ها را با نسبت منظرهای مختلف موردن بررسی قرار دادند. آنها نشان دادند که در کانال های مستطیلی با افزایش نسبت منظر کانال، عدد ناسلت نیز افزایش می‌یابد. توجیهی و هان [۶] اثرات کانال های همگرا را روی عملکرد حرارتی میکروکانال های چاه گرمایی موردن بررسی قرار دادند و نشان دادند که کانال های که در جهت عرضی همگرا می‌شوند نسبت به کانال های مستقیم و کانال های که در جهت ارتفاع کانال همگرا می‌شوند از عملکرد حرارتی مطلوب تری بر خوردار هستند.

چوی و همکارانش [۷] دریافتند ایجاد یک سیال پایه با غلظت های کوچک نانو ذرات موجب افزایش انتقال گرمایی می‌شود. افزایش زیاد

### ۱- مقدمه

با پیشرفت صنایع الکترونیک در دو دهه اخیر و خلق دستگاههای با ابعاد کوچک، موضوع تولید گرمایی بالا در واحد حجم/ سطح در تراشه های الکترونیک به دلیل تراکم بالا ایجاد شد. در پی آن تحقیقات گستردۀ ای در این زمینه شروع و میکروکانال ها به دلیل داشتن چندین مزیت از قبیل ابعاد کوچک هندسی، نسبت سطح به حجم بالا، رسانایی گرمایی بالا در قسمت جامد، و نیاز به مقدار حجم کم از سیال خنک کننده، به عنوان یک راه حل عملی برای دفع گرمای از مدارهای مجتمع الکترونیک معرفی شدند. میکروکانال عبارتست از تعداد زیاد کانال با ابعاد میکرو که در سطح غیر فعال الکتریکی ریزیزدازنده قرار داده می‌شود که برای دفع گرمای منتشر شده کاربرد دارد. تاکرمن و پیز [۱-۲] برای اولین بار میکروکانال های آب-خنک را موردن بررسی قرار داند و گزارش کردند که میکروکانال های آب-خنک می‌توانند  $\text{W/cm}^2$

\* نویسنده مکاتبه کننده، آدرس پست الکترونیکی: msvalipour@semnan.ac.ir

تاریخ دریافت: ۹۷/۰۸/۱۸

تاریخ پذیرش: ۹۸/۰۴/۲۴

مایع در حالت پایا در یک کanal سه بعدی مورد بررسی قرار دادند و گزارش کردند با اعمال میدان مغناطیسی می‌توان خواص هیدرودینامیکی سیال‌های هادی الکتریکی را کنترل کرد. حاج علی گل و همکارانش [۲۴] به صورت عددی، انتقال گرمایی همرفتی مختلط و آنتروپی تولیدی آن را روی نانو سیال آلومینیوم در یک میکروکanal سه بعدی مورد بررسی قرار دادند و افزایش آهنگ انتقال گرمایی از دیواره کanal به سیال را با افزایش میدان مغناطیسی گزارش کردند. همچنین کاهش آنتروپی کل را با افزایش کسر حجمی، نسبت منظر کanal و افزایش میدان مغناطیسی گزارش کردند. که البته برخی از نتایج ایشان با فیزیک حاکم بر مساله و پیش‌بینی‌های علمی همخوانی ندارد و نشان می‌دهد که مساله مورد بحث نیاز به بررسی بیشتری دارد.

در کار حاضر جریان و انتقال گرمایی همرفتی همبسته نانو سیال آب-اکسید آلومینیوم در یک میکروکولر از نوع میکروکanal سه بعدی که قسمت تحتانی آن تحت تاثیر میدان مغناطیسی می‌باشد به صورت عددی توسط نرم افزار Fluent مورد بررسی می‌گیرد. معادلات حاکم برای کسر حجمی ۲ درصد و عدد رینولز ۱۰۰ حل می‌شوند. مدل استفاده شد شامل بخش جامد و سیال می‌باشد و مسئله برای دو حالت حل شده است: حالت اول بدون میدان مغناطیسی و حالت دوم در حضور میدان مغناطیسی. همچنین تحلیل های صورت گرفته شامل دو بخش می‌باشند بخش اول مربوط به مشخصه‌های جریان و محاسبه کمیت‌های مربوط به آن می‌باشد و بخش دوم مربوط به مشخصه‌های انتقال گرمایی می‌باشد که در ادامه ارائه می‌شوند.

## ۲- صورت مسئله و مدل سازی ریاضی:

طرحواره میکروکanal در شکل ۱ نشان داده شده است. شار گرمایی وارد شده توسط پره‌ها و کف میکروکanal، به سیال عبوری در داخل کanal‌ها منتقل و دفع می‌شود. قسمت تحتانی کanal به طول  $L_1$  به صورت عرضی تحت تاثیر میدان مغناطیسی یکنواخت قرار دارد. ذرات  $AL_2O_3$  با قطر موثر  $3/8\text{ }\mu m$  نانومتر و کسر حجمی ۲ درصد استفاده شده است. عرض و ارتفاع هر کanal به ترتیب  $W$  و  $H$  هستند. همانطور که در شکل ۱ دیده می‌شود طول کanal ها  $L$  و ضخامت پره‌ها برابر  $W$  خواهد بود و ضخامت لایه کف برابر  $t$  می‌باشد. ابعاد کanal و خواص نانو سیال در جدول ۱ و ۲ نشان داده شده است.

به دلیل اینکه حجم محاسبات برای تمامی کanal‌ها زیاد خواهد بود بنابراین یکی از کanal‌های میانی انتخاب و با توجه به تقارن موجود، نیمی از این کanal برای محاسبات انتخاب شده است. لذا محدوده محاسباتی مانند شکل ۱ می‌باشد که بر روی دیواره‌های سمت چپ و راست شرط مرزی متقاضان اعمال می‌شود.

رسانایی گرمایی سیال بسیاری از محققان را تشویق به بررسی مزایای بالقوه مخلوط نانو ذرات با سیال عامل در حالت مایع (به عبارت دیگر نانو-سیال) در کاربردی انتقال گرمایی کرد. از این رو اخیراً در بسیاری از مطالعات مشخصات انتقال گرمایی همرفتی نانو سیال را در میکروکanal‌ها، مورد بررسی قرار دادند. تراکنشی و ونکوایز [۸]، و دینگ [۹] و گائو و همکارانش [۱۰] انتقال گرمایی همرفتی نانو سیال آب-اکسید مس را در میکروکanal مستطیلی برای کسر حجمی‌های مختلف مورد بررسی قرار دادند و افزایش آهنگ انتقال گرمایی را به همراه افزایش نسبتاً کم افت فشار گزارش کردند.

لی و کلاینسترو [۱۱] به صورت عددی جریان نانو سیال آب-میکروکanal ذوزنقه‌ای مورد بررسی قرار دادند و غلظت بهینه نانو سیال را با به حداقل رساندن آنتروپی بدست آوردند. تیووی و همکارانش [۱۲] رسانایی گرمایی محوری را، روی عملکرد مطالعه قرار دادند. آنها سیال در یک میکروکanal چاه گرمایی مورد مطالعه قرار دادند. آنها گزارش کردند اثر رسانایی گرمایی محوری در نانو سیال با کسر حجمی بالا و اعداد پکله کم نسبت به مایع بسیار قابل توجه می‌باشد و نمی‌توان از آن صرفنظر کرد. ریزیت و همکارانش [۱۳] به صورتی عددی انتقال گرمایی اجباری، جریان لایه‌ای نانو سیال را در یک میکروکولر در دو حالت لغزش و بدون لغزش بررسی کردند. آنها گزارش کردند که استفاده از نانو سیال باعث افزایش انتقال گرمایی می‌شود. رشیدی و همکارانش [۱۴] نقش نانو ذرات را در بهروزی سیستم‌های آب شیرین کن مورد بررسی قرار دادند. آنها نشان دادند انجام مدل‌های عددی و ریاضی و به دست آوردن برعی از همیستگی‌ها برای برآوردن ضریب بهره‌وری و انتقال گرمایی در پیش‌بینی عملکرد این سیستم‌ها بسیار مفید است. آنها کاربرد نانو سیال‌ها را در سیستم‌های تقطیر و تبخیر مورد بررسی قرار دادند [۱۵] و نشان دادند استفاده از نانو سیال باعث افزایش ضریب انتقال گرمایی می‌شود [۱۶].

با توجه به مزیت بکارگیری میدان مغناطیسی در یکنواخت کردن پروفیل جریان و به تبع آن افزایش ضریب انتقال گرمایی جایگایی، در سال‌های اخیر جریان و انتقال گرمایی تحت تاثیر میدان مغناطیسی مورد توجه ویژه‌ای قرار گرفته است [۱۷]. امین فر و همکارانش [۱۸-۱۹] اثر میدان مغناطیسی یکنواخت و غیر یکنواخت را روی رفتار هیدرورگرمایی یک سیال دوفاز در یک لوله مربعی عمودی مورد بررسی قرار دادند و نشان دادند میدان‌های مثبت باعث افزایش ضریب اصطکاک و عدد ناسلت می‌شود و میدان‌های منفی این دوپارامتر را کاهش می‌دهد. ساوادا و همکاران [۲۰] رفتار جریان را بین دو صفحه موازی برای هر دو میدان مغناطیسی عرضی و طولی به صورت تحریی مورد بررسی قرار دادند. رشیدی و همکارانش [۲۱] استفاده از میدان مغناطیسی را در کاربردهای بیولوژیکی مورد بررسی قرار دادند. آنها نشان دادند استفاده از میدان مغناطیسی روی جریان خون در هنگام جراحی که نیاز است دمای بافت‌ها کاهش یابد می‌تواند بسیار مهم باشد.

گیلرمو و همکارانش [۲۲] اثرات ترکیبی شامل لغزش، میدان مغناطیسی، کسر حجمی، تابش گرمایی، مکش و تزریق را روی آنتروپی تولیدی در یک میکروکanal با صفحات نفوذپذیر مورد بررسی قرار دادند و گزارش کردند اثرات فوق منجر به کاهش آنتروپی کل می‌شوند. سلیمانی و همکارانش [۲۲] اثرات میدان مغناطیسی را رو جریان لیتیوم

$$K_S \left( \frac{\partial^2 \theta}{\partial X^2} + \frac{\partial^2 \theta}{\partial Y^2} + \frac{\partial^2 \theta}{\partial Z^2} \right) = 0 \quad (6)$$

در روابط فوق  $\rho_{nf}$  چگالی نانو سیال،  $a_{bf}$  پخشندگی گرمایی سیال پایه،  $Re = u_{in} D_h / V_{bf}$  عدد رینولدز،  $Pr = v_{bf} / a_{bf}$  عدد پرانتل،  $Ha$  عدد بدون بعد هارتمن می باشد که در قسمت نمادها تعریف شده است.

### ۳- شیوه حل عددی

شار گرمایی برابر با  $200 \text{ W/cm}^2$  به سطح زیرین کف کاتال اعمال می شود. گرمایی که از سطح بالای کاتال منتقل می شود ناچیز می باشد. زیرا در واقعیت انتقال گرمایی از این سطح با مکانیزم انتقال گرمایی جابجایی طبیعی صورت می گیرد که در برابر آهنگ انتقال گرمایی اجباری درون کاتال قابل صرف نظر و سطح عایق فرض می شود. به دلیل تقارن، دیوارهای سمت راست و چپ متقاضن فرض می شوند و گرادیان دما و سرعت نرمال در صفحه های متقاضن صفر در نظر گرفته می شود. سیال در ورودی با دمای  $K = 293$  و سرعت یکواخت وارد کاتال می شود.

در خروجی فشار ثابت در نظر گرفته شده است. با توجه به اینکه طول کاتال به اندازه کافی بلند می باشد بنابراین سیال در خروجی کاملا توسعه یافته فرض می شود و از این رو گرادیان محوری ( $\frac{\partial \theta}{\partial x}$ ) برابر صفر در نظر گرفته می شود. به منظور بررسی وضعیت کاملا توسعه یافته، طول کاتال افزایش داده شد که به تبع آن تغییرات قابل توجهی در سرعت در موقعیت محوری  $z=L$  دیده نشد. در خط اتصال جامد و سیال شرط عدم لغزش سرعت و عدم پرش دما صادق است:

$$\bar{V} = 0$$

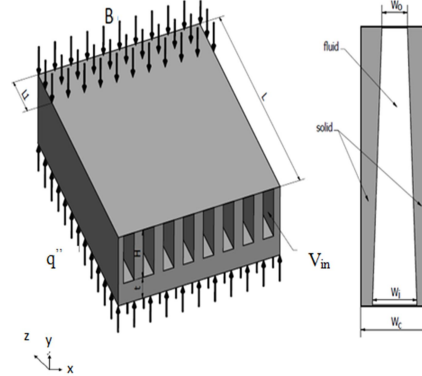
$$T_{nf} = T_S$$

$$Kn_f \frac{\partial T_{nf}}{\partial n} = K_S \frac{\partial T_S}{\partial n} \quad (7)$$

$K_s$  و  $K_{nf}$  به ترتیب رسانایی گرمایی نانوسیال و قسمت جامد می باشند.

### ۴- شرایط مرزی

معادلات حاکم غیر خطی با شرایط مرزی بیان شده به صورت عددی با استفاده از روش حجم محدود و الگوریتم SIMPLE در حالت پایا گسته سازی و حل می شوند. جمله جابجایی با استفاده از روش بالا دست مرتبه دوم گسته سازی می گردد. تفاوت کلی بین سرعت و دمای میانگین در دو مرحله از حل، مینا همگرایی می باشد و تفاوت بدون بعد کمتر از  $0.001$  به عنوان معیار همگرایی در نظر گرفته شده است. برای بدست آوردن تعداد شبکه های مناسب با توجه به زمان حل، مسئله با تعداد شبکه های متفاوت حل شده و دمای خروجی کاتال در هر مرحله اندازه گیری شد و در نهایت تعداد شبکه های  $x \times y \times z = 50 \times 100 \times 150$  به عنوان شبکه نهایی انتخاب شد زیرا با ریزتر کردن شبکه ها یا به عبارتی برای تعداد شبکه های  $x \times y \times z = 75 \times 150 \times 200$  کمتر از  $0.01$  می باشد. المان های استفاده شده برای شبکه بندی به صورت مکعب مستطیل می باشند.



شکل ۱- طرحواره میکرو کولر کننده (میکرومتر)

جدول ۱- ابعاد میکرو کولر کننده (میکرومتر)

W	W_c	H	L	L_i	T
۲۰۰	۴۰۰	۱۰۰۰	۱۲۰۰۰	۳۰۰۰	۵۰۰

جدول ۲- خواص نانو ذرات آب و آلومینیوم [۲۵]

(W/m)K	C_p(J/kgK)	$\rho(\text{kg/m}^3)$	Pr
۰/۶۱۳	۴۱۷۹	۹۹۷/۱	۶/۲ آب خالص
۴۰	۷۶۵	۳۹۷۰	آلومینیوم (Al <sub>2</sub> O <sub>3</sub> )

### ۱-۲- معادلات حاکم

معادلات حاکم با فرض جریان تراکم ناپذیر و پایا به صورت زیر می باشند [۲۶]:

$$\frac{\partial U}{\partial X} + \frac{\partial V}{\partial Y} + \frac{\partial W}{\partial Z} = 0 \quad (1)$$

$$U \frac{\partial U}{\partial X} + V \frac{\partial U}{\partial Y} + W \frac{\partial U}{\partial Z} = - \frac{\partial P}{\partial X} + \frac{\mu_{nf}}{\rho_{nf} \times \alpha_f} \frac{1}{Re Pr} \left( \frac{\partial^2 U}{\partial X^2} + \frac{\partial^2 U}{\partial Y^2} + \frac{\partial^2 U}{\partial Z^2} \right) - \frac{Ha^2}{Re} U \quad (2)$$

$$U \frac{\partial V}{\partial X} + V \frac{\partial V}{\partial Y} + W \frac{\partial V}{\partial Z} = - \frac{\partial P}{\partial Y} + \frac{\mu_{nf}}{\rho_{nf} \times \alpha_f} \frac{1}{Re Pr} \left( \frac{\partial^2 V}{\partial X^2} + \frac{\partial^2 V}{\partial Y^2} + \frac{\partial^2 V}{\partial Z^2} \right) \quad (3)$$

$$U \frac{\partial W}{\partial X} + V \frac{\partial W}{\partial Y} + W \frac{\partial W}{\partial Z} = - \frac{\partial P}{\partial Z} + \frac{\mu_{nf}}{\rho_{nf} \times \alpha_f} \frac{1}{Re Pr} \left( \frac{\partial^2 W}{\partial X^2} + \frac{\partial^2 W}{\partial Y^2} + \frac{\partial^2 W}{\partial Z^2} \right) - \frac{Ha^2}{Re} W \quad (4)$$

$$U \frac{\partial \theta}{\partial X} + V \frac{\partial \theta}{\partial Y} + W \frac{\partial \theta}{\partial Z} = \frac{\alpha_{nf}}{\alpha_f} \frac{1}{Re Pr} \left( \frac{\partial^2 \theta}{\partial X^2} + \frac{\partial^2 \theta}{\partial Y^2} + \frac{\partial^2 \theta}{\partial Z^2} \right) \quad (5)$$

معادله بقای انرژی برای قسمت جامد حل می شود:

## ۵- خواص نانو سیال

$$\rho_{nf} = (1-\varphi)\rho_{bf} + \varphi\rho_p \quad (8)$$

$$(\rho C_p)_{nf} = (1-\varphi)(\rho C_p)_{bf} + \varphi(\rho C_p)_P \quad (9)$$

$$\rho_{nf} = (1-\varphi)\rho_{bf} + \varphi\rho_p \quad (10)$$

در روابط بالا  $\rho$  چگالی سیال،  $\phi$  کسر حجمی نانو سیال،  $C_p$  طرفیت گرمایی سیال و  $\sigma$  رسانایی الکتریکی سیال می‌باشد.

رسانایی گرمایی موثر برای نانو سیال توسط لی و کلیستروور [۲۷] به صورت زیر معرفی می‌شود:

$$K_{nf} = K_{static} + K_{Brownian} \quad (11)$$

$$k_{static} = 1 + \frac{3\left(\frac{K_p}{K_{bf}} - 1\right)\phi}{\left(\frac{K_p}{K_{bf}} + 2\right) - \left(\frac{K_p}{K_{bf}} - 1\right)\phi} \quad (12)$$

$$K_{Brownian} = 5 \times 10^4 \beta \phi C_p \sqrt{\frac{KT}{\rho_p d_p}} f(T, \phi) \quad (13)$$

که  $f$  و  $\beta$  در مرجع [۲۷] معرفی شده‌اند.  
ویسکوزیته موثر نیز توسط مرجع [۲۵] به صورت زیر پیشنهاد شده است.

$$\mu_{nf} = \mu_{static} + \mu_{Brownian} \quad (14)$$

$$\mu_{Brownian} = \frac{K_{Brownian}}{K_{bf}} \times \frac{\mu_{bf}}{pr_{bf}} \quad (15)$$

## ۶- نتایج و بحث

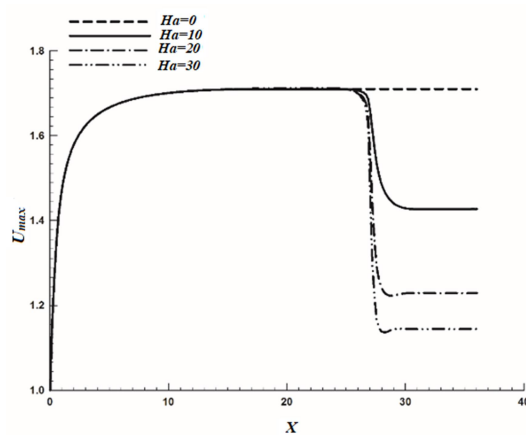
نتایج شامل دو بخش می‌باشند: در بخش اول، مسئله از لحاظ هیدرودینامیکی نظریه تغییرات عدد پوازیه در طول کanal و سرعت سیال و در بخش دوم پارامترهای حرارتی مورد بررسی قرار می‌گیرد.

### ۱-۶- هیدرودینامیک

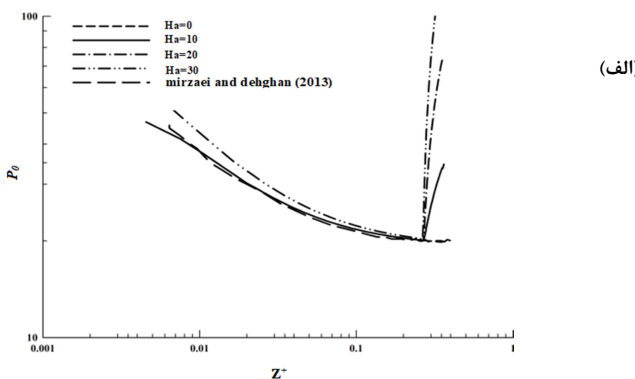
شکل ۲ حداکثر سرعت افقی بدون بعد ( $U_{max}$ ) را در طول خط مرکزی کanal برای چهار عدد هارتمن ( $Ha$ ) برابر  $0$ ،  $10$ ،  $20$  و  $30$  و برای عدد رینولدز ( $Re$ )  $100$  و درصد حجمی ذرات ( $\phi$ ) برابر  $0.2$  نشان می‌دهد. از آنجا که مقدار حداکثر سرعت بدون بعد، به نسبت سرعت روی خط مرکزی و سرعت ثابت ورودی، وابسته می‌باشد بنابراین در

ابتدا کanal جریان روی خط مرکزی به دلیل رشد لایه مرزی‌ها شتاب می‌گیرد و مقدار آن افزایش می‌یابد تا به حالت توسعه یافته خود می‌رسد. از این رو در ناحیه توسعه یافته هیدرودینامیکی، مقدار  $U_{max}$  در طول کanal ثابت می‌شود. در قسمت تحتانی کanal ( $z=9$  mm) با اعمال میدان مغناطیسی و با توجه به معادله مونتنتوم دیده می‌شود که نیروی میدان مغناطیسی بر سیال عامل مناسب است با سرعت به دست آمده در هر ناحیه، از طرفی بیشینه سرعت در مرکز کanal اتفاق می‌افتد. لذا نیروی مغناطیسی مخالف جریان سیال در مرکز کanal دارای حداکثر مقدار خود می‌باشد. بنابراین برای ارضای بقای جرم، سرعت در مرکز کاهش و در نزدیکی دیواره کanal افزایش می‌یابد که باعث یکنواختی هرچه بیشتر جریان می‌شود.

شکل ۳ (الف) کانتور سرعت را در ناحیه ورودی کanal نشان می‌دهد با توجه به اینکه در شرایط مرزی سرعت ورودی را یکنواخت فرض کردیم بنابراین در ابتدای ناحیه ورودی به دلیل کوچک بودن ضخامت لایه مرزی‌ها پروفیل سرعت تقریباً یکنواخت می‌باشد. شکل ۳(ب) کانتور سرعت را در ناحیه کاملاً توسعه یافته نشان می‌دهد در این ناحیه با رشد لایه مرزی تا مرکز کanal بیشینه سرعت در حداکثر فاصله از دیواره (در مرکز کanal) اتفاق می‌افتد. با اعمال میدان مغناطیسی در قسمت تحتانی کanal، پروفیل سرعت سیال تحت تاثیر نیروی لورنتس ( $Ha=30$ ) نزدیک به پروفیل سرعت ورودی کanal می‌شود در واقع می‌توان گفت تاثیر دیواره‌ها را روی جریان سیال می‌توان کاهش داد یا به عبارتی توزیع سرعت جریان را می‌توان کنترل نمود.



شکل ۲- تغییرات حداکثر سرعت جریان در مرکز کanal ( $Y=3$  mm).



شکل ۴- تغییرات ضریب انتقال گرمای جابجایی محلی در طول کanal برای اعداد هارتمن مختلف

در ابتدای کanal با توجه به اینکه تغییرات فشار به دلیل رشد لایه مرزی‌ها زیاد می‌باشد لذا نیروی اختلاف فشار اعمالی در این ناحیه داری مقدار زیادی می‌باشد. و از آنجا که نیروی اصطکاکی با توجه به ثابت بودن مقطع کanal ثابت می‌باشد بنابراین عدد پوازیه از یک مقدار خیلی زیاد شروع شده و بعد از ناحیه توسعه یافته به مقدار حدی ثابتی می‌رسد. با اعمال میدان مغناطیسی با توجه به اینکه نیروی میدان مغناطیسی خلاف جهت جریان می‌باشد، لذا برای حفظ دی جریان و به تبع آن ثابت ماندن سرعت متوسط، گرادیان فشار در طول کanal به صورت ناگهانی افزایش می‌یابد. این امر باعث افزایش ناگهانی عدد پوازیه در طول کanal می‌شود. همچنین از مشاهد شکل ۴ دیده می‌شود که هماهنگی بسیار خوبی بین نتایج کار حاضر در نمودار هارتمن صفر با نتایج مطالعه میرزاوی و دهقان [۲۸] دیده می‌شود که به صورت ضمیمی به اعتبار سنجی نتایج مطالعه حاضر اشاره دارد.

## ۶- انتقال گرما

یکی از سوالات اساسی که در رابطه با انتقال گرما در جریان‌های داخلی صورت می‌گیرد رابطه بین تغییر درجه حرارت دیواره کanal و آهنگ انتقال گرما به سیال در طول کanal می‌باشد. بنابراین پارامتر مهمی به عنوان ضریب انتقال گرمای جابجایی محلی در طول کanal تعریف می‌کنند:

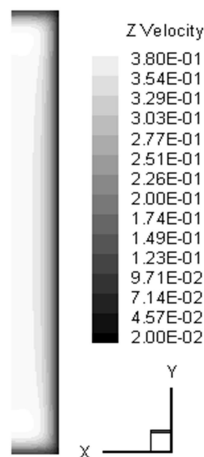
$$h_z = \frac{q_w(z)}{T_w(z) - T_b(z)} \quad (17)$$

(z) شار گرمایی میانگین در هر مقطع می‌باشد که از میانگین حجمی شارهای اعمالی از مرز جامد به سیال در دیوارهای جانی و تحتانی بدست می‌آید،  $T_w(z)$  دمای متوسط دیوار می‌باشد و  $T_b(z)$  دمای متوسط حجمی سیال می‌باشد و توسط رابطه زیر تعریف می‌شود:

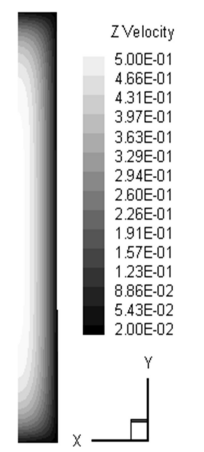
$$T_b(z) = \frac{\int_{AC}^z \rho u c_p T_f dA}{\int_{AC}^z \rho u c_p dA} \quad (18)$$

ضریب انتقال گرمای جابجایی محلی (رابطه ۱۷) در شکل ۵ به تصویر کشیده شده است. در ابتدای کanal به دلیل اختلاف دمای زیاد

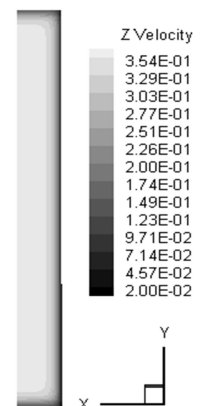
(الف)



(ب)



(ج)



شکل ۳- (الف) کانتور سرعت در سه مقطع مختلف (اعم از ورودی، مرکز و انتهایی): (الف) z=0mm; (ب) z=6mm; (ج) z=10mm

شکل ۴ عدد پوازیه ( $P_o = f \times Re_{Dh}^{-1}$ ) را در مقابل طول بدون بعد کanal ( $Z^+ = z Re^{-1} D_h$ ) نشان می‌دهد. عدد پوازیه ( $P_o$ ) عددی هست که فقط به هندسه بستگی دارد و نشان دهنده تعادل بین دو نیرو یعنی نیروی اختلاف فشار اعمالی و اصطکاک است.

$$P_o \sim \frac{\nabla p / L}{\mu U / D_h} \quad (16)$$

شکل ۶ (الف) و ۶ (ب) به ترتیب کانتورهای دما را برای  $Ha=0$  و  $Ha=30$  نشان می‌دهند. در حالت بدون حضور میدان مغناطیسی (شکل ۶ (الف)) در ابتدای کanal به دلیل ضریب انتقال گرمای جابجایی محلی بالا، دمای قسمت جامد در ابتدای کanal تقریباً نزدیک به دمای سیال می‌باشد. در قسمت انتهایی کanal دمای توده سیال خنک کننده افزایش یافته بنابراین برای انتقال شار گرمایی یکنواخت وارد شده از کف، دمای قسمت تحتانی کanal افزایش می‌یابد. شکل ۶ (ب) کانتور دما را برای حالتی که قسمت تحتانی کanal تحت تأثیر میدان مغناطیسی قرار دارد نشان می‌دهد که به دلیل افزایش ضریب انتقال گرمای جابجایی (مطابق شکل ۵)، شار گرمایی نسبت به حالت بدون حضور میدان مغناطیسی در اختلاف دمای پایین‌تر منتقل شده و به عبارت دیگر در این حالت دمای قسمت جامد پایین‌تر خواهد بود در نتیجه توزیع دما یکنواخت‌تر خواهد شد.

به طور کلی ضریب انتقال گرمای در حالت بدون بعد (عدد ناسلت) توسط رابطه (۱۹) تعریف می‌شود:

$$Nu_z = \frac{h_z D_h}{K_Z} \quad (19)$$

قطر هیدرولیکی کanal می‌باشد که به صورت زیر تعریف می‌شود:

$$D_h = \frac{2WH}{W+H} \quad (20)$$

و  $H$  به ترتیب عرض و ارتفاع کanal می‌باشند و  $K_Z$  متوسط رسانایی گرمایی در مقطع  $z$  می‌باشد. طول بدون بعد گرمایی توسط رابطه (۲۱) تعریف می‌شود:

$$z^* = z / (D_h pr Re) \quad (21)$$

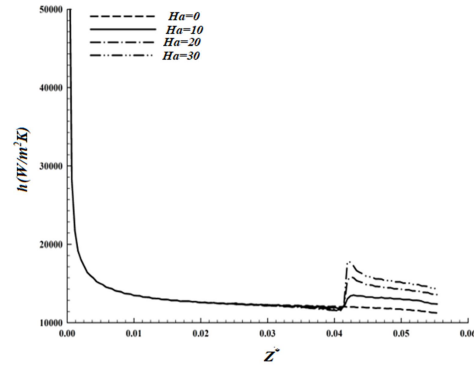
شکل ۷ تغییرات عدد ناسلت را در مقابل طول بدون بعد گرمایی برای هارتمن‌های مختلف در مقایسه با نتایج کار لی و همکارانش [۲۹] نشان می‌دهد (معادله ۲۲).

$$\begin{aligned} Nu_z &= \frac{1}{C_1(Z^*)^{C_2} + C_3} + C_4 \\ C_1 &= -3.122 \times 10^{-3} \alpha^3 + 2.435 \times 10^{-2} \alpha^2 \\ &+ 2.143 \times 10^{-1} \alpha + 7.325 \\ C_2 &= 6.412 \times 10^{-1} \quad 0 < \alpha < 1 \\ C_3 &= 1.589 \times 10^{-4} \alpha^2 - 26.3 \times 10^{-3} \alpha \\ &+ 2.444 \times 10^{-2} \\ C_4 &= 7.148 - 1328 \times 10/\alpha + 1515 \times 10/\alpha^2 \\ &- 5.936/\alpha^3 \end{aligned} \quad (22)$$

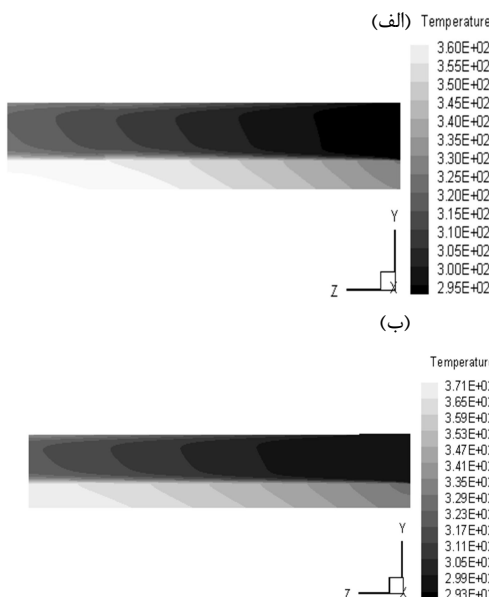
تفاوت بین نتایج مطالعه لی و همکاران [۲۹] و کار حاضر به دلیل شرایط مرزی متفاوت و مدل‌های متفاوت می‌باشد از قرار زیر می‌باشد:  
 ۱- مدل لی و همکاران [۲۹] جریان را از لحظه هیدرودینامیکی کاملاً توسعه یافته در نظر گرفته در صورتی که در مدل حاضر جریان با صورت یکنواخت وارد کanal می‌شود و سپس توسعه یافته رخ می‌دهد.

۲- مدل لی و همکاران [۲۹] فقط قسمت سیال را شامل می‌شود در صورتی که مدل حاضر شامل انتقال گرمای سه بعدی در هر دو قسمت جامد و سیال می‌باشد.

بین دیواره و توده سیال ورودی، یکنواخت بودن پروفیل سرعت و همچنین کوچک بودن ضخامت لایه مرزی، آهنگ انتقال گرما بسیار بالا می‌باشد. بنابراین ضریب انتقال گرما از یک مقدار زیاد شروع شده و در طول کanal با کاهش گرادیان دما و افزایش ضخامت لایه‌های مرزی کاهش می‌باید تا به یک مقدار ثابت در جریان توسعه یافته می‌گذرد. با اعمال میدان مغناطیسی در انتهای کanal، پروفیل سرعت در اثر نیروی لورنتس مجدد مانند پروفیل سرعت در نزدیک دیواره و کاهش ضخامت لایه مرزی هیدرودینامیکی، میزان انتقال گرمای افزایش می‌یابد. در نتیجه ضریب اختلاف دمای بین سیال و دیواره کاهش می‌یابد. در این واقع در این انتقال گرمای در این ناحیه مجدد افزایش می‌یابد. در این واقع در این ناحیه توزیع دما در کanal یکنواخت‌تر می‌شود بنابراین می‌توان گفت اختلاف دمای متوسط سیال ( $T_s$ ) و دیواره کاهش می‌یابد از این رو ضریب انتقال گرمای افزایش می‌یابد.



شکل ۵ - تغییرات ضریب انتقال گرمای جابجایی محلی در طول کanal برای اعداد هارتمن مختلف



شکل ۶- کانتور دما برای (الف)  $Ha=0$  و (ب)  $Ha=30$

کanal یکنواخت‌تر می‌کند.

۲- با توجه به شکل ۳ می‌توان به این نتیجه رسید که تاثیر نیروی لورنتس روی پروفیل سرعت با افزایش عدد هارتمن از ۲۰ به ۳۰ نسبت به افزایش از ۰ تا ۱۰ کمتر است. به عبارت دیگر هنگامی که پروفیل سرعت تقریباً یکنواخت گردد، دیگر میدان مغناطیسی تأثیری روی پروفیل سرعت و یا انتقال گرما نخواهد داشت و فقط میزان افت فشار را افزایش می‌دهد. به عبارت دیگر افزایش بیشتر میدان مغناطیسی مزیت و توجیهی نخواهد داشت.

۳- همانطور که بیان شد، با اعمال میدان مغناطیسی سرعت سیال در نزدیکی دیوار به دلیل یکنواختی پروفیل سرعت افزایش می‌یابد که این مساله به مکانیزم انتقال گرمای جابجایی کمک شایانی می‌نماید. به عبارت دیگر با بهبود مکانیزم انتقال گرمای جابجایی، حرارت از سطح دیواره تحت اختلاف دمای کمتری با سیال خنک کننده منتقل خواهد شد که به کنترل دمای سطح برای جلوگیری از پدیده بیش-گرم شدن منجر خواهد شد.

۴- با توجه به شکل ۶ می‌توان نتیجه گرفت که با اعمال میدان مغناطیسی می‌توان توزیع دما را در قسمت جامد یکنواخت‌تر نمود و هم از تنش‌های حرارتی در میکرو کولر کننده کاست و هم دمای سطح تماس میکرو کولر کننده با منبع گرمایی را کاهش داد. به عبارت دیگر شار گرمایی بالاتری را تحت یک حداکثر دمای تحمل مشخص دفع نمود.

## ۸- نمادها

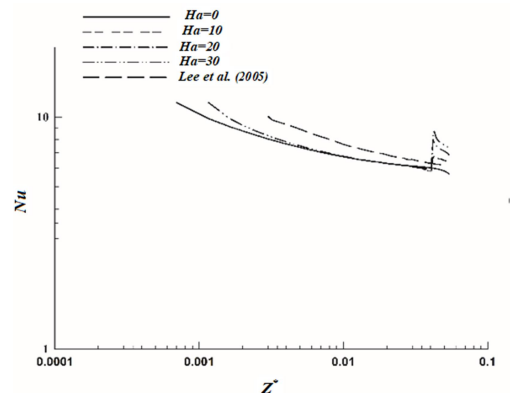
میدان مغناطیسی (T)	B
قطر هیدرولیکی (m)	D <sub>h</sub>
ارتفاع کanal (m)	H
عدد هارتمن (B <sub>0</sub> D <sub>h</sub> √(σ <sub>nf</sub> /ρ <sub>nf</sub> v <sub>bf</sub> ))	Ha
(Pa)	P
شار گرمایی (w/m <sup>2</sup> )	q"
(v <sub>bf</sub> /α <sub>bf</sub> )	pr
(u <sub>in</sub> D <sub>in</sub> /v <sub>bf</sub> )	Re
(K)	T
دمای متوسط حجمی سیال (K)	T <sub>b</sub>
دمای متوسط دیواره (K)	T <sub>w</sub>
(m/s)	u,v,w
مولفه‌های سرعت	
سرعت بدون بعد (u/u <sub>in</sub> )	U
سرعت بدون بعد (v/u <sub>in</sub> )	V
سرعت بدون بعد (w/u <sub>in</sub> )	W
مختصات دکارتی	x,y,z
مختصات دکارتی بدون بعد (x/D <sub>h</sub> )	X
مختصات دکارتی بدون بعد (y/D <sub>h</sub> )	Y
مختصات دکارتی بدون بعد (z/D <sub>h</sub> )	Z

۳- تفاوت قسمت انتهای نمودار در مدل لی و همکاران [۲۹] و کار حاضر در اثر اعمال میدان مغناطیسی بر جریان سیال می‌باشد. انتقال گرمای سه بعدی در قسمت جامد همانطور که در شکل ۶ دیده می‌شود منجر به گرادیان دما در جهت Z می‌شود. بنابراین رسانش گرمای محوری در قسمت جامد را نمی‌توان نادیده گرفت. موریانی [۳۰] مارازانا [۳۱] به ترتیب نشان دادند که از رسانش گرمای محوری در قسمت جامد نمی‌توان صرف نظر کرد وقتی که:

$$M = \frac{K_S A_S / L}{\rho C_p A_S V} = \frac{K_S [(H+t)W_C - HW]}{\rho C_p HWVL} > 0.01 \quad (۲۳)$$

$$N = \frac{K_S D_h}{K_f L} \left( \frac{(H+t)W_C}{HW} - 1 \right) \frac{1}{\text{Re } pr} > \frac{1}{\text{Re } Pr} > 0.02 \quad (۲۴)$$

V به ترتیب رسانی گرمایی قسمت جامد و سرعت متوسط می‌باشند. همچنین M و N پارامترهای هستند که اهمیت رسانش گرمایی محوری را در مقایسه با انتقال گرمای جابجایی را برآورد می‌کنند که در مطالعه حاضر به ترتیب برابر ۰/۰۰۵۳ و ۰/۰۰۷۵ می‌باشند. در واقع در رینولدز های پایین بخشی از گرمای وارد شده از کف کanal، به جای حرکت به سمت مایع از طریق قسمت جامد به دلیل اختلاف دما به سمت ورودی کanal که دمای کمتری دار منتقل می‌شود. با اعمال میدان مغناطیسی تا حد زیادی می‌توان توزیع دما را در میکرو کanal یکنواخت نمود به طوری که از اهمیت رسانش گرمای محوری در طول کanal کاسته می‌شود.



شکل ۷- نمودار ناسلت بر حسب طول بدون بعد: مقایسه عدد ناسلت با معادله لی [۲۹] برای اعداد هارتمن مختلف

## ۷- جمع‌بندی

در مطالعه حاضر تاثیرات حضور / عدم حضور میدان مغناطیسی بر جریان و انتقال گرمای یک نانو سیال آب-اکسید آلومینیوم در درون یک میکرو کولر کننده حرارتی مورد بررسی قرار گرفته است که نتایج آن به صورت خلاصه به شرح ذیل ارائه می‌شود:

- نیروی لورنتس با سرعت سیال رابطه مستقیم دارد بنابراین بیشترین تاثیر این نیروی مخالف جریان در ناحیه مرکزی کanal است که بیشینه سرعت در آن رخ می‌دهد. بنابراین توزیع جریان سیال را در

- [10] Gao P., Le Person S. and Favre-Marinet, M., Scale effects on hydrodynamics and heat transfer in two-dimensional mini and microchannels. *International Journal of Thermal Sciences*, Vol. 41, No. 11, pp. 1017-1027, 2002.
- [11] Li J and Kleinstreuer C., Entropy generation analysis for nanofluid flow in microchannels. *Journal of Heat Transfer*, Vol. 132, No. 12, pp.122401, 2010.
- [12] Ting T. W., Hung Y. M. and Guo N., Effects of streamwise conduction on thermal performance of nanofluid flow in microchannel heat sinks. *Energy conversion and management*, Vol. 78, pp. 14-23. 2014.
- [13] Raisi A., Ghasemi B. and Aminossadati S. M., A numerical study on the forced convection of laminar nanofluid in a microchannel with both slip and no-slip conditions. *Numerical Heat Transfer, Part A: Applications*, Vol. 59, No. 2, pp. 114-129, 2011.
- [14] Rashidi S., Karimi N., Mahian O. and Esfahani, J. A., A concise review on the role of nanoparticles upon the productivity of solar desalination systems. *Journal of Thermal Analysis and Calorimetry*, Vol. 135, No. 2, pp. 1145-1159, 2019.
- [15] Rashidi S., Mahian O. and Languri E. M., Applications of nanofluids in condensing and evaporating systems. *Journal of Thermal Analysis and Calorimetry*, Vol. 131, No. 3, pp. 2027-2039. 2018.
- [16] Rashidi S., Eskandarian M., Mahian, O. and Poncet S., Combination of nanofluid and inserts for heat transfer enhancement. *Journal of Thermal Analysis and Calorimetry*, Vol. 135, No. 1, pp. 437-460, 2019.
- [17] Nakatsuka K., Jeyadevan B., Neveu S. and Koganezawa, H., The magnetic fluid for heat transfer applications. *Journal of Magnetism and Magnetic Materials*, Vol. 252, pp. 360-362, 2002.
- [18] Aminfar H., Mohammadpourfard M. and Kahnoumeyi Y. N., A 3D numerical simulation of mixed convection of a magnetic nanofluid in the presence of non-uniform magnetic field in a vertical tube using two phase mixture model. *Journal of Magnetism and Magnetic Materials*, Vol. 323 No. 15, pp. 1963-1972, 2011.
- [19] Aminfar H., Mohammadpourfard M. and Mohseni, F. Two-phase mixture model simulation of the hydro-thermal behavior of an electrical conductive ferrofluid in the presence of magnetic fields. *Journal of Magnetism and Magnetic Materials*, Vol. 324, No. 5, pp. 830-842, 2012.
- [20] Sawada T., Tanahashi T and Ando, T., Two-dimensional flow of magnetic fluid between two parallel plates. *Journal of Magnetism and Magnetic Materials*, Vol. 65 No. 2-3, pp. 327-329, 1987.
- [21] Rashidi S., Esfahani J. A. and Maskaniyan M., Applications of magnetohydrodynamics in biological systems-a review on the numerical studies. *Journal of Magnetism and Magnetic Materials*, Vol. 439, pp. 358-372, 2017.
- [22] Ibáñez G., López A., Pantoja J. and Moreira, J. Entropy generation analysis of a nanofluid flow in MHD porous microchannel with hydrodynamic slip and thermal radiation. *International Journal of Heat and Mass Transfer*, Vol. 100, pp. 89-97, 2016.
- [23] Selimli S., Recebli Z. and Arcaklıoglu E., MHD numerical analyses of hydrodynamically developing laminar liquid lithium duct flow. *International Journal of Hydrogen Energy*, Vol. 40, pp. 44, pp. 15358-15364, 2015.
- [24] Hajialigol N., Fattahi A., Ahmadi M. H., Qomi M. E. and Kakoli E., MHD mixed convection and entropy generation in a 3-D microchannel using Al<sub>2</sub>O<sub>3</sub>-water nanofluid. *Journal of the Taiwan Institute of Chemical Engineers*, Vol. 46, pp. 30-42, 2015.
- [25] Abu-Nada E., Masoud Z. and Hijazi A., Natural convection heat transfer enhancement in horizontal concentric annuli using nanofluids. *International Communications in Heat and Mass Transfer*, Vol. 35, No. 5, pp. 657-665, 2008.

$\left(\frac{T-T_{in}}{\frac{q}{\rho} D_h}\right) \frac{k_f}{k_f}$	دماي بدون بعد	$\theta$
$\mu$	لزجت ديناميكي	μ
$(kg.m^{-3})$	چگالی	ρ
$\emptyset$	کسر حجمی	∅
	زيرنويس ها	
	متوسط	ave
	ظاهرى	app
	توده	b
	سيال پايه	bf
	براؤني	Brownian
	سطح مقطع	c
	مؤثر	eff
	سيال	f
	هيدروليک	h
	ناتو سيال	nf
	ذرات	p
	جامد	s
	ديوار	w

## -۹ مراجع

- [1] Tuckerman D. B. and Pease R. F. W., High-performance heat sinking for VLSI. *IEEE Electron device letters*, Vol. 2, No.5, pp. 126-129, 1981.
- [2] Tuckerman D. B., Optimized convective cooling using micromachined structures. *J. Electrochem. Soc.: Reviews and News*, Vol. 129, No. 3, 1982.
- [3] Pfahler J., Harley J., Bau H. and Zemel J., Liquid transport in micron and submicron channels. *Sensors and Actuators A: Physical*, Vol. 22, No.1-3, pp. 431-434, 1990.
- [4] Makihara M., Sasakura K. and Nagayama, A. The flow of liquids in micro-capillary tubes-consideration to application of the Navier-Stokes equations. *JOURNAL-JAPAN SOCIETY FOR PRECISION ENGINEERING*, Vol. 59, pp. 399-399, 1993.
- [5] Lee P. S. and Garimella, S. V., Thermally developing flow and heat transfer in rectangular microchannels of different aspect ratios. *international journal of heat and mass transfer*, Vol. 49, No. 17-18, pp. 3060-3067, 2006.
- [6] Hung T. C. and Yan, W. M., Effects of tapered-channel design on thermal performance of microchannel heat sink. *International Communications in Heat and Mass Transfer*, Vol. 39, No.9, pp. 1342-1347, 2012.
- [7] Choi S. U. and Eastman J. A., *Enhancing thermal conductivity of fluids with nanoparticles*. No. ANL/MSD/CP-84938; CONF-951135-29. Argonne National Lab., IL (United States), 1995.
- [8] Trisaksri V. and Wongwises S., Critical review of heat transfer characteristics of nanofluids. *Renewable and sustainable energy reviews*, Vol. 11, No. 3, pp. 512-523, 2007.
- [9] Wen D and Ding, Y., Experimental investigation into convective heat transfer of nanofluids at the entrance region under laminar flow conditions. *International journal of heat and mass transfer*, Vol. 47, No. 24, pp. 5181-5188, 2004.

- [26] Aminossadati S. M., Raisi A. and Ghasemi B. Effects of magnetic field on nanofluid forced convection in a partially heated microchannel. *International Journal of Non-Linear Mechanics*, Vol.46, No.10, 1373-1382, 2011.
- [27] Li J. and Kleinstreuer, C., Thermal performance of nanofluid flow in microchannels. *International Journal of Heat and Fluid Flow*, Vol. 29, No. 4, pp. 1221-1232, 2008.
- [28] Mirzaei M. and Dehghan, M., Investigation of flow and heat transfer of nanofluid in microchannel with variable property approach. *Heat and Mass Transfer*, Vol. 49, No.12, pp. 1803-1811, 2013.
- [29] Lee P. S., Garimella S. V. and Liu, D. Investigation of heat transfer in rectangular microchannels. *International Journal of Heat and Mass Transfer*, Vol. 48, No. 9, 1688-1704, 2005.
- [30] Morini G., LScaling effects for liquid flows in microchannels. *Heat Transfer Engineering*, Vol. 27, No. 4, pp. 64-73, 2006.
- [31] Maranzana G., Perry I., and Maillet, D., Mini-and micro-channels: influence of axial conduction in the walls. *International journal of heat and mass transfer*, Vol. 47, No. 17-18, pp. 3993-4004, 2204.